

$$V = \frac{f_{\text{Objektiv}}}{f_{\text{Ocular}}} = \frac{D_{\text{ein}}}{D_{\text{aus}}} \quad \text{Vergrößerung}$$

$$(n_0 - 1)_{\lambda} = 64,328 * 10^{-6} + \frac{0,03}{146 - \lambda [\mu\text{m}]^2} + \frac{0,00003}{41 - \lambda [\mu\text{m}]^4}$$

$$(n-1) = (n_0 - 1) \frac{p[\text{torn}] / 750}{1 + T / 273}; \sin(z_{\text{stern}}) = n_g * \sin(z)$$

$$X = \frac{1}{\cos(z_{\text{schein}})} \quad \text{Luftmasse}$$

$$m_0 = M / 2 - 2,5 \log(k) - 2,5 \log(\mu) + 1,25 \log(D^2 * q * t) - 1,25 \log(1 + R)$$

$$m_{0s} = M - 2,5 \log(k) - 2,5 \log(\mu) + 2,5 \log(f) - 2,5(1 + R) + 1,25 \log(E)$$

M: scheinbare Helligkeit pro sterad; k: S/N Verhältnis von Grenzsignal;  $\mu$ : Pixelgröße in arcsec; q: Quanteneffizienz; R: (instrumenteller-/Himmels-)Hintergrund; E: maximal effektiv registrierte Photonen pro cm<sup>2</sup>; D und f in [m]; Seidelsche Bildfehlertheorie

$$\sin(\varphi) \approx \varphi - \frac{1}{6} \varphi^3 \quad \text{Näherung dritter Ordnung}$$

$$\Delta y' = \frac{1}{2}(-y(y^2 + z^2) \sum_i + (3y^2 + z^2) \tan(w) \sum_u - y \tan^2(w) \sum_{uv} + \tan^3(w) \sum_{iv})$$

$$\Delta z' = -\frac{1}{2}z(y^2 + z^2) \sum_i + yz \tan(w) \sum_u - \frac{1}{2} \tan^2(w) \sum_{iv}$$

$$S = \frac{f}{16 * N^3} \sum_i \quad \text{sphärische Querabweichung}$$

$$\Delta x_s = \frac{f}{8 * N^2} \sum_i \quad \text{sphärische Längsabw.}$$

$$K = \frac{3 * f}{8 * N^2} \tan(w) \sum_u \quad \text{Koma (Querabw.)}$$

$$\Delta x_k = \frac{3 * f}{4 * N} \tan(w) \sum_u \quad \text{Koma (Längsabw.)}$$

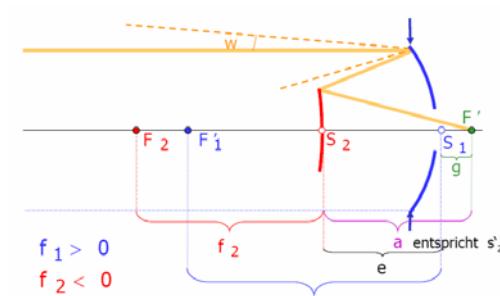
$$\sum_{\text{IIIa}} = \frac{1}{2} (\sum_{\text{III}} - \sum_{\text{IV}}), \quad \sum_{\text{IVa}} = \frac{1}{2} (\sum_{\text{III}} + \sum_{\text{IV}})$$

$$\Delta x_a = \frac{1}{2} * f \sum_{\text{IIIa}} \tan^2(w) \quad \text{halbe astigm. Diff.}$$

$$A = \frac{f}{4 * N} \tan^2(w) \sum_{\text{IIIa}} \quad \text{Querabweichung}$$

$$\bar{R} = -\frac{f}{\sum_{\text{IVa}}} \quad \text{mittlerer Bildfeldradius}$$

$$\text{Cassegrain System } \frac{D_{AP}}{D_{EP}} = \frac{a}{f_{\text{ges}} - e}$$



$$f_{\text{ges}} = \frac{f_1 * f_2}{f_1 + f_2 - e} = m * f_1 = a + m * e \quad g = \frac{(f_1 - e)f_2}{f_1 + f_2 - e} - e$$

$$m = \frac{f_{\text{ges}}}{f_1} = \frac{a}{(f_1 - e)} \quad a = \frac{(f_1 - e)f_2}{f_1 + f_2 - e}$$

$$p = (f_1 - e)(1 - \frac{g}{f_{\text{ges}} - e})$$

$$\partial a = m^2(\partial f_1 + \frac{(m-1)^2}{m^2} \partial f_2 - \partial e) \quad \text{Fokussieren}$$

$$\Delta g = -(m^2 + 1) * \Delta e; \quad \Delta f = \frac{f_{\text{ges}}}{f_1 + f_2 - e} * \Delta e;$$

$$\Delta m = -\frac{m^2 * (m-1)}{a} * \Delta e$$

$$|\Delta e| \leq \frac{128 * N^4}{m^2 * (m^2 - 1)} * \lambda \quad \text{Strehl Fokustoleranz}$$

$$\Delta \sum_i = -\frac{m^2(m^2 - 1)}{f_{\text{ges}}} \Delta e \quad \text{zusätzliche Abber.}$$

$$\Delta y' = -\delta * (m-1) \quad \text{Bildverschiebung}$$

$$K_s = \frac{3}{32} \left( \frac{m-1}{N} \right)^2 (2 + (1 - \beta_2) * (m-1)) \delta$$

$$D_2 \approx a \left( \frac{1}{N} + 2 * \tan(w) \right) \quad \text{Min. D Sekundär}$$

$$N = \frac{f_{\text{ges}}}{D} \approx \frac{1}{(2 * NA)} \quad \text{Öffnungszahl}$$

$$NA = n_0 \sin(\alpha) = \sqrt{a_1^2 - b_1^2} \quad \text{numerische Apertur}$$

$$NA = \sqrt{\frac{n_1^2 - n_2^2}{(1 - \rho)^2}} \quad \rho = \frac{d}{2R} \quad \text{mit Verluste}$$

$$P(x) = P(0) * 10^{-\frac{x}{10}} \quad \text{Leistung}$$

$$\alpha * x = \text{Verlust}[dB] \quad \text{durch Dämpfung}$$

$$E_x = A_x \cos(\omega t) \quad E_y = A_y \cos(\omega t + \phi) \quad \text{Licht}$$

$$I = I_0 \cos^2(\alpha_p) \quad 2 \text{ Polarisatoren hintereinander}$$

$$E(\lambda) = \frac{P_{\text{gem}}}{P_{\text{wahr}}} \quad \text{Polarisationsausbeute}$$

$$(I \quad Q \quad U \quad V) \quad \text{Stokes-Vektor}$$

$$I^2 \geq Q^2 + U^2 + V^2 \quad (\text{gleich bei totaler Polarisation})$$

I: Intensität; Q horizontal / vertikal [+1,-1]; U: +45° / -45° [+1,-1]; V: rechts / links zirkular [+1,-1]

$$I = V_1; \quad Q = V_2 - V_1; \quad U = V_3 - V_1; \quad V = V_4 - V_1;$$

$$\frac{Q}{I} = p * \cos(2\theta); \quad \frac{U}{I} = p * \sin(2\theta);$$

$$p = \frac{\sqrt{Q^2 + U^2}}{I}; \quad \theta = 0,5 * \arctan \left( \frac{U}{Q} \right) + n\pi/2;$$

$$I_p = \begin{pmatrix} 1 & \cos(2\theta) & \sin(2\theta) & 0 \end{pmatrix}$$

$$p(\lambda) = e^{-1,15 * \ln^2(\lambda_{\text{max}} / \lambda)} \quad \text{Interstellare Polarisation}$$

wobei p(max) < 9 E(B-V) und  $\lambda_{\text{max}}$  = Teilchengröße

$$\sigma(p) = \sigma(Q) = \sigma(U) = \sqrt{2/C}$$

$$C = \text{gemessene Photonen}; \quad \sigma(\theta)[\text{rad}] = 0,5 \frac{\sigma(p)}{p}$$

Transformationsgleichungen: b,u,v gemessen => U,B,V

$$(B-V) = \mu(b-v)_0 + C_{BV};$$

$$V = v_0 + \epsilon(B-V) + C_V;$$

$$(U-B) = \psi(u-b)_0 + C_{UB};$$

$$\text{Totzeit: } \frac{N_{\text{gec}}}{N} = 1 - N * \tau * e^{-N * \tau}; \quad v_{\text{gec}} = \frac{N_{\text{gec}}}{(A * N_{\text{gec}})}; \quad s'_{\text{2}} = \frac{f_2 * e - f_2 * s_1 * f_1 / (s_1 - f_1)}{e - f_2 - s_1 * f_1 / (s_1 - f_1)}$$

$$A = \frac{N_{\text{wenig}}}{N_{\text{2wenig}}}; \quad N_2 * \tau = \frac{1}{A+1} \sqrt{1 - \frac{A+1}{A-1} \frac{1}{v_{\text{gec}}}};$$

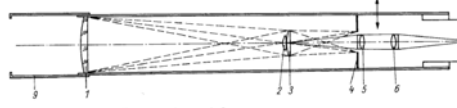
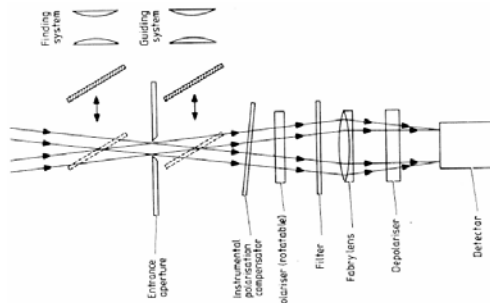
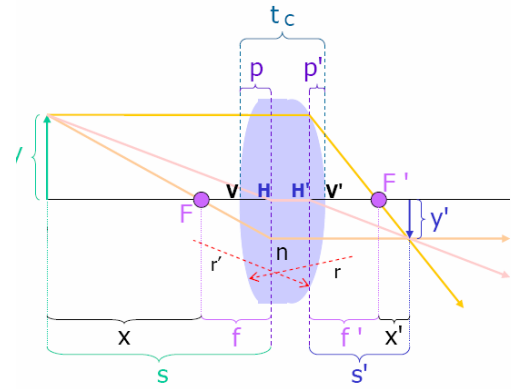


Bild 14.14 Schema des Koronographen nach Lyot  
1: Objektiv; 2: Kegelblende, verspiegelt; 3: Feldlinse; 4: Blende; 5: Objektive zur Abbildung von 2 auf 7; 7: Bildebene (Fotoplatte); # Interferenzfilter, zwischen 3 und 4 einschaltbar; 6: Schutzkappe



$$\frac{1}{f} = (n-1) \left( \frac{1}{r} - \frac{1}{r'} + \frac{(n-1)t_c}{n * r * r'} \right) \quad \text{dicke Linsen}$$



$$V = \frac{B}{G} = \frac{b}{g}; \quad p = -\frac{f * (n-1) * t_c}{n * r}$$

$$\frac{1}{v_1 f_1} + \frac{1}{v_2 f_2} = 0 \quad \text{Achromat}$$

$$m * \lambda = a(\sin(\alpha) + \sin(\beta)) \quad \text{Gittergleichung}$$

$$\lambda_L = 2a \sin(\beta) \quad \text{Littrow-Wellenlänge}$$

$$\Delta \lambda = F_{\lambda} = \frac{\lambda}{m} \quad \text{Freie spektrale Wellenlänge}$$

$$(\frac{d\beta}{d\lambda})_a = \frac{m}{\alpha * \cos(\beta)} = \frac{\sin(\alpha) + \sin(\beta)}{\lambda * \cos(\beta)},$$

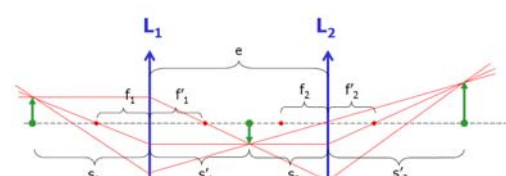
$$(\frac{d\beta}{d\lambda})_L = \frac{2 * \tan(\beta)}{\lambda_L} \quad \text{Winkeldispersion}$$

$$D_{\text{lin}} = \frac{d\lambda}{db} = (f * \frac{d\beta}{d\lambda})^{-1} \quad \text{reziproke lineare Dispersion}$$

$$R = \frac{\lambda}{\delta\lambda} = m * p \quad \text{Auflösungsvermögen}$$

p...Anzahl der Gitterlinien

$$\lambda_B = \frac{2 * a}{m} \sin(\Theta) * \cos(\frac{\alpha - \beta}{2}) \quad \text{Blaze-Gitter}$$



$$s'_{\text{2}} = \frac{f_2 * e - f_2 * s_1 * f_1 / (s_1 - f_1)}{e - f_2 - s_1 * f_1 / (s_1 - f_1)} \quad \text{Bildabstand}$$

$$\frac{1}{f_{\text{ges}}} = \frac{1}{f_1} + \frac{1}{f_2} - \frac{e}{f_1 * f_2} \quad \text{Brennweite Teleskop}$$

Objekt im Unendlichen:

$$s'_{\text{2}} = \frac{f_2 * (f_1 - e)}{f_1 + f_2 - e}; \quad f_{\text{ges}} = \frac{f_1 * f_2}{f_1 + f_2 - e}$$

$$e = \frac{f_1 + f_2}{2} \quad \text{achromatische Okulare}$$

CCD-Kamera

